

LEYENDA

CUATERNARIO	HOLOCENO	41, 42a, 43, 44, 45, 46, 47, 48, 49
	PLEISTOCENO	34, 35, 36, 37, 38, 39, 40, 41
TERCIARIO	PLIOCENO	30, 31, 32, 33, 34, 35, 36, 37, 38, 39, 40, 41
	MIOCENO	22, 23, 24, 25, 26, 27, 28, 29, 30, 31, 32, 33, 34, 35, 36, 37, 38, 39, 40, 41
EDIFICIO BETANCURIA	INFERIOR - MEDIO	22, 23, 24, 25, 26, 27, 28, 29, 30, 31, 32, 33, 34, 35, 36, 37, 38, 39, 40, 41
	MIOCENO	22, 23, 24, 25, 26, 27, 28, 29, 30, 31, 32, 33, 34, 35, 36, 37, 38, 39, 40, 41
C. CIRCULAR VEGA DE RÍO PALMAS	INFERIOR - MEDIO	22, 23, 24, 25, 26, 27, 28, 29, 30, 31, 32, 33, 34, 35, 36, 37, 38, 39, 40, 41
	MIOCENO	22, 23, 24, 25, 26, 27, 28, 29, 30, 31, 32, 33, 34, 35, 36, 37, 38, 39, 40, 41
MACIZO MÁFICO - ULTRAMÁFICO DE MEZQUEZ	MIOCENO	15, 16, 17, 18, 19, 20, 21, 22, 23, 24, 25, 26, 27, 28, 29, 30, 31, 32, 33, 34, 35, 36, 37, 38, 39, 40, 41
	MIOCENO	15, 16, 17, 18, 19, 20, 21, 22, 23, 24, 25, 26, 27, 28, 29, 30, 31, 32, 33, 34, 35, 36, 37, 38, 39, 40, 41
SERIES PLUTÓNICAS INDEFERENCIADAS	OLIGOCENO SUP.-MIOCENO	11, 12, 13, 14, 15, 16, 17, 18, 19, 20, 21, 22, 23, 24, 25, 26, 27, 28, 29, 30, 31, 32, 33, 34, 35, 36, 37, 38, 39, 40, 41
	OLIGOCENO SUP.-MIOCENO	11, 12, 13, 14, 15, 16, 17, 18, 19, 20, 21, 22, 23, 24, 25, 26, 27, 28, 29, 30, 31, 32, 33, 34, 35, 36, 37, 38, 39, 40, 41
SERIE INTRUSIVA ULTRACALINA	OLIGOCENO SUP.	11, 12, 13, 14, 15, 16, 17, 18, 19, 20, 21, 22, 23, 24, 25, 26, 27, 28, 29, 30, 31, 32, 33, 34, 35, 36, 37, 38, 39, 40, 41
	OLIGOCENO SUP.	11, 12, 13, 14, 15, 16, 17, 18, 19, 20, 21, 22, 23, 24, 25, 26, 27, 28, 29, 30, 31, 32, 33, 34, 35, 36, 37, 38, 39, 40, 41
LAVAS Y PIROCLASTOS EN PARTE SUBMARINOS	OLIGOCENO	5, 6, 7, 8, 9, 10, 11, 12, 13, 14, 15, 16, 17, 18, 19, 20, 21, 22, 23, 24, 25, 26, 27, 28, 29, 30, 31, 32, 33, 34, 35, 36, 37, 38, 39, 40, 41
	OLIGOCENO	5, 6, 7, 8, 9, 10, 11, 12, 13, 14, 15, 16, 17, 18, 19, 20, 21, 22, 23, 24, 25, 26, 27, 28, 29, 30, 31, 32, 33, 34, 35, 36, 37, 38, 39, 40, 41
SEDIMENTOS DE FONDO OCEÁNICOS	JURÁSICO INF.-CRETÁCICO	1, 2, 3, 4, 5, 6, 7, 8, 9, 10, 11, 12, 13, 14, 15, 16, 17, 18, 19, 20, 21, 22, 23, 24, 25, 26, 27, 28, 29, 30, 31, 32, 33, 34, 35, 36, 37, 38, 39, 40, 41
	JURÁSICO INF.-CRETÁCICO	1, 2, 3, 4, 5, 6, 7, 8, 9, 10, 11, 12, 13, 14, 15, 16, 17, 18, 19, 20, 21, 22, 23, 24, 25, 26, 27, 28, 29, 30, 31, 32, 33, 34, 35, 36, 37, 38, 39, 40, 41
ROCAS FILONIANAS		
1a, 1b		

SIGNOS CONVENCIONALES

--- Contacto por discordancia

--- Contacto por discordancia supuesto

--- Contacto intrusivo

--- Contacto intrusivo supuesto

--- Contacto gradual supuesto

--- Faja

--- Faja supuesta

--- Borde de deslizamiento

--- Centro de emisión

--- Borde de cráter

--- Dirección de flujo en coladas

--- Horro

--- Dirección y buzamiento

--- Estratificación invertida

--- Foliación magnética

--- Foliación magnética subvertical

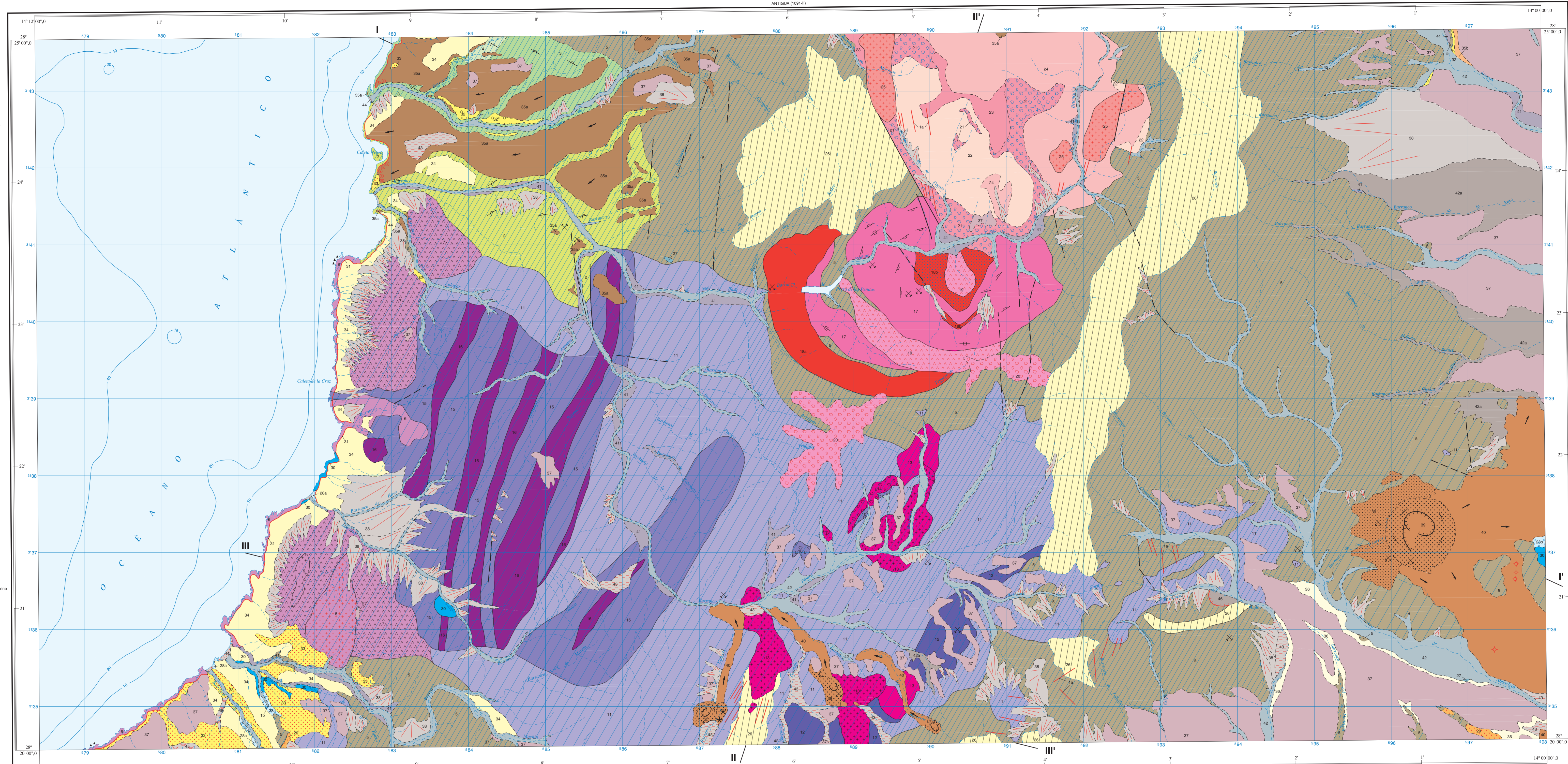
--- Cartera activa, slam inactiva

% DE DIQUES EN LAS FORMACIONES DEL COMPLEJO BASAL

> 75%

Entre 20-75%

< 20%



Escala 1:25.000

Proyección U.T.M. Española de Hayford

Altitudes referidas al nivel medio del mar en Puerto del Rosero

Cuadrícula U.T.M. - Equipamiento de curvas 10 metros

Hayford

500m 0 2 3km

NORMAS, DIRECCIÓN Y SUPERVISIÓN DEL I.G.M.E.

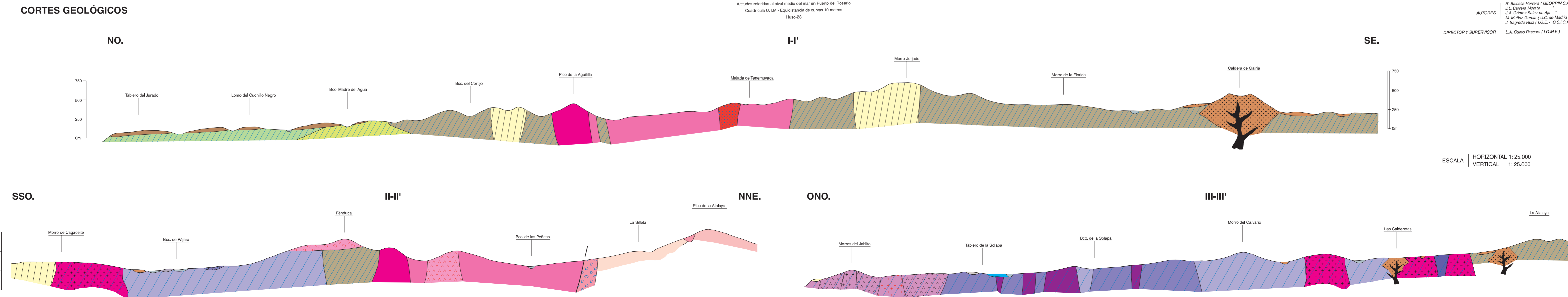
REALIZACIÓN DE LA CARTOGRAFÍA GEOLÓGICA 1981

AUTORES: J.L. Barrio Alvaré (I.G.M.E.), J.M. Fuster Casas, M. Muñoz Gervá, A. Noguera Gómez, J. Sogorb Ruiz (I.G.M.E. - C.S.I.C.), J. Sogorb Ruiz (I.G.M.E. - C.S.I.C.)

REVISIÓN Y ADAPTACIÓN A LA NUEVA BASE TOPOGRÁFICA 1991

AUTORES: J. Barrio Alvaré (I.G.M.E.), J.L. Barrio Alvaré (I.G.M.E.), J.A. Gómez Sanz de Aza (I.G.M.E.), M. Muñoz Gervá (I.G.M.E. - C.S.I.C.), J. Sogorb Ruiz (I.G.M.E. - C.S.I.C.)

DIRECTOR Y SUPERVISOR: I.A. Cueto Pascual (I.G.M.E.)



ESQUEMA VOLCANO-TECTÓNICO



Form. Sedimentarias pliocenas y cuaternarias

Fase volcánica reciente

Fase volcánica pliocena

Intrusiones traquíticas

Coladas básicas

Coladas básicas

Intrusión máfica de diques tardíos

Basaltos plug y brechas basálticas

Serries intrusivas y graníticas sálicas

Coladas proterozoicas

Intrusiones de gabbro

Intrusiones de gabbro

Intrusiones de gabbro

Proterozoicas (gabbro)

Gabbro y Masas mafico-ultramáficas

Worffilas de Múzquiz

Coladas y rocas fragmentarias en parte submarinas

Sedimentos cretácicos de fondo oceánico

Centro de emisión

Dircción de flujo en coladas

Diques sálicos

Malla de diques del C. Basal

Falla

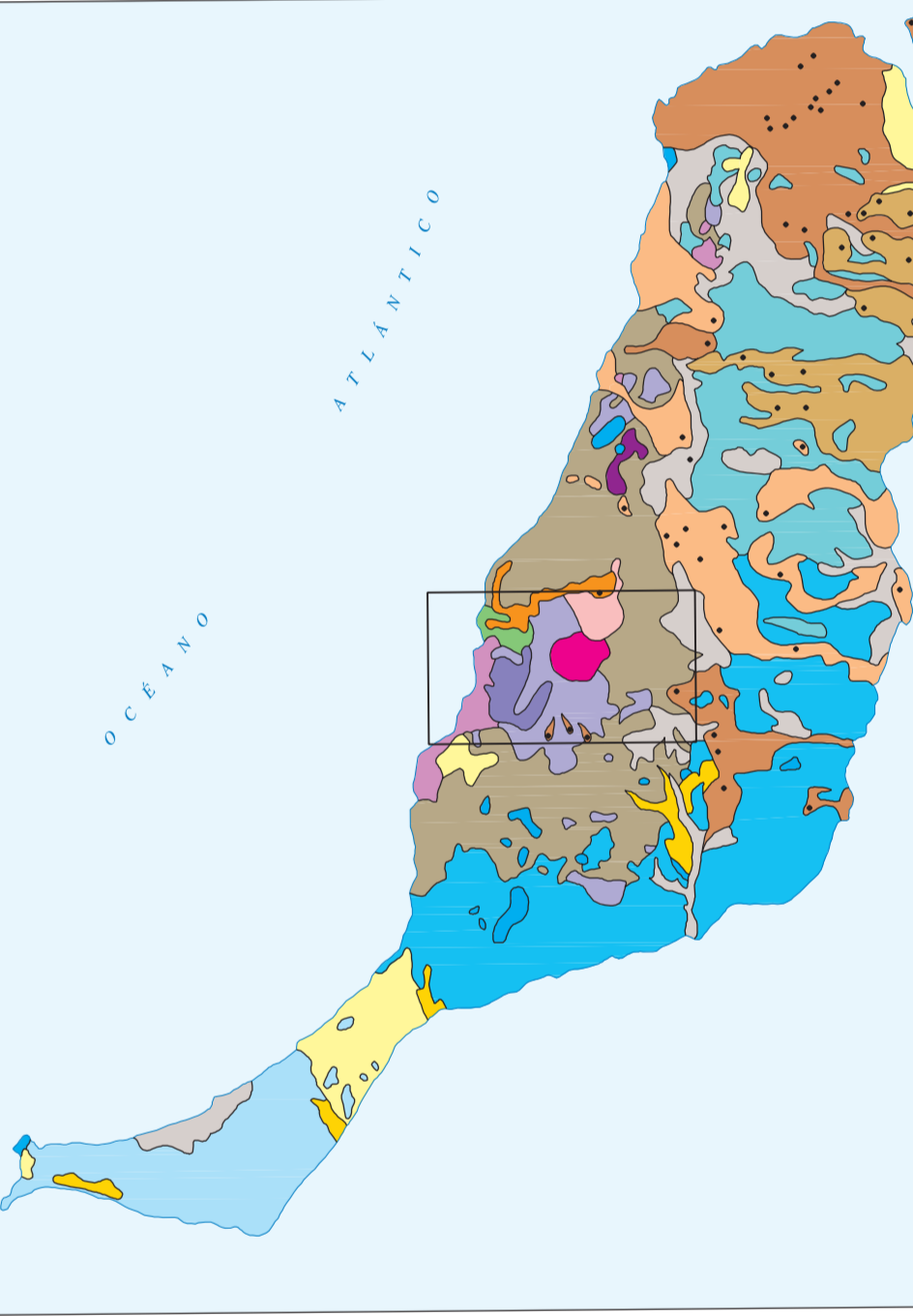
Estratificación invertida

Foliación magnética

Foliación magnética subvertical

C. Basal

ESQUEMA REGIONAL



FORM. SEDIMENTARIAS PLIOCENAS Y CUATERNARIAS

Depósitos detriticos

Arenas eólicas

Form. VOLCÁNICAS PLIOCENAS Y CUATERNARIAS

Fase volcánica pliocena media - holocena (Episodios recientes)

Fase volcánica pliocena inferior

Fase volcánica pliocena superior

Fase volcánica pliocena inferior

FORM. VOLCÁNICAS MIOCENAS

Episodios tardíos

Edificio Tor (cone)

Edificio Gran Tarajá (cones)

Edificio Jardiá (sur)

DOMINIO DEL COMPLEJO BASAL

Edificio Betancuria

Complejo Circular de Vega de Río Palmas

Masas mafico-ultramáficas de Múzquiz

Serie plutónica indiferenciada

Serie plutónica ultracalina

Serie volcánica indiferenciada, en parte submarina

Sedimentos de fondo oceánico

Cerrojos de emisión